

国鉄・構造物設計事務所 正良 垂木尚志  
 " " 須川雄次  
 " " ○ 清水和美

### まえがき

開削時の地盤変形が研究対象となり2か3相当の年月がたつ、この間数多くの現場測定、室内実験あるいは数値解析などによると、地盤変形に関するかなりの部分が明らかになつた。しかし、大規模開削における土圧のみならず、切バリにプレロードを導入する場合の効果、壁体の挿入部長さと上・ビングの関係など従来未解明と思われる点が多い。また一般に施工管理上利用されている安定係数についても複合地盤ではそのせん断強度のとり方に定論はない。土留壁の設計に際しては地盤も壁体の変形を考慮し、施工順序に従うた設計法が合理的と思われる。ここでは、特に掘削底部の不良層が開削時に地盤挙動に及ぼす影響を検討するため、壁体のない場合について有限要素法を用いて解析し、また、これを地盤条件は異なるが、鋼矢板で支持された地盤の挙動に対する挙動を水平地盤係数を考慮することによって検討した結果の概略を述べる。

### 計算方法

壁体のない場合: 地盤を完全塑性体と仮定、変形係数 =  $40 + 6d \text{ kN/m}^2$ 、せん断力 =  $0.1 + 0.03d \text{ kN/m}^2$  ( $d$  は深さ) とし、安定係数が最大となるように掘削深さを最大  $12 \text{ m}$  とし、掘削の過程で土の三輪要素の最大せん断応力が地山のせん断強度を越えた場合には塑性域に入り込むと判断し、以後は応力とすべり関係を増分ヒステリシスにより定める。掘削底部の不良地盤の影響を検討するため、不良層厚を  $0, 2, 4, 12 \text{ m}$  と変化させて。

壁体のある場合: 図-1 に計算条件を示す。壁体と  $12 \text{ m}$  鋼矢板を考慮し、これを30分割して各格子は地盤あるいは切バリと結合している。地盤係数、切バリのバネ係数をひとつの図-1に示すとある。ここで用いられる地盤係数は、クイの場合につれて地盤係数を基本とし、矢板壁が無限に近くことを考慮して減衰を行なうた値である。ランタンの主軸、免れ土圧と極限とし、変形を終る土圧と静止土圧と基準とし算定し、掘削段階ごとに繰り返し計算を行なう。<sup>17)</sup> 掘削底部の不良層厚を  $0, 1, 2, 5 \text{ m}$  と不良層が壁体の挙動に及ぼす影響を検討した。

### 計算結果

壁体のない場合: 図-2 に不良層厚を変える場合の最大せん断応力分布を示す。分布形状は掘削底部より上部の地

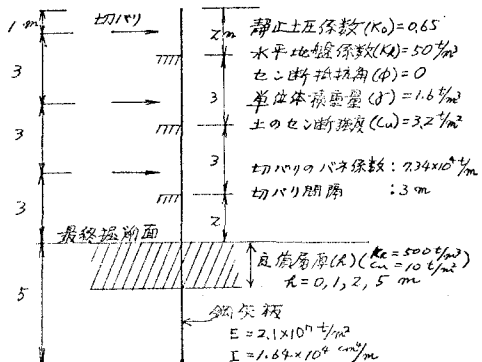


図-1 計算条件(矢板のある場合)

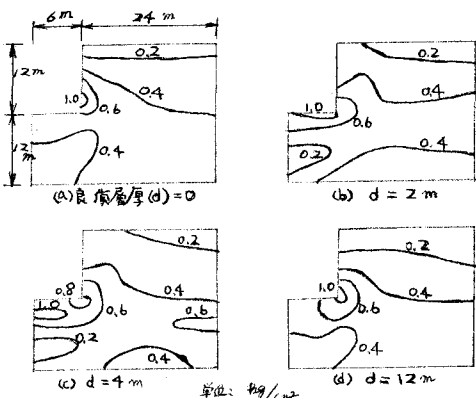


図-2 最大せん断応力分布(矢板のない場合)

盤につけたは大きさを変化させながら、掘削底部での変化が生じる。掘削下伴の良質層に応力が集中してく傾向があり、最終掘削時の底面の変形は良質層が無い場合と1%程度、厚さが1, 2, 5mと増すに伴い0.54, 0.36, 0.25と減少する。

壁体のある場合：変位 下端にシル場合の最終掘削時の矢板変位を図-3示す。良質層厚0の場合の変位は約17cmで二本の掘削深さの17%であり、良質層厚が1, 2, 5mと増すに伴い、掘削深さの1%, 0.7%, 0.6%と矢板変位は減少する。

土圧 良質層厚1mの場合の土圧変化状況を図-4に示す。掘削背面側の土圧は掘削深さが5mで主動状態に達し2.11倍と増えられる。左の二つの壁の変位は、掘削深さの1%である。他のケースについても、良質層厚が無い場合が1.6%，他のケースで1%である。軸力、切削軸力の最大値は各ケースとも掘削深さ5mの時が2.5倍切削パリに生じる。良質層厚の増加に伴い切削軸力は減少する。曲げモーメントは、良質層が無い場合には掘削底部が生じ、良質層厚1, 2mでは底面と矢板下端の中央が生じ、良質層厚5mの場合には最下段切削パリと掘削底部の間に生じる。

良質層厚の影響を図-5に示す。下端にシル場合には1mの良質層により矢板の最大変位、最大切削軸力、最大曲げモーメントは急激に減少する。良質層厚が2mと5mではほとんど変化なく、層厚が2m未満では地盤が乱されない限り良質層の効果を期待できるといふことになる。一方、二端に張り出しの矢板の下端がフリーリーの場合には、二端に用いた手法では解か求められない場合もあり、解か得る場合でも下端の変位が過大となり、矢板の破壊が生ずるとい結果となる。下層に無限の軟弱層がある場合はこの挿入れ長では不十分となり、実際には地盤改良を行なうことになるのである。良質層厚が5m以上になるとシル、フリーの場合とも矢板は全く同一の挙動をなす。

### あとがき

現在、國鉄では土留工の設計を作成中であるが、大規模開削の設計法の確立、本体利用の場合の設計法の確立など種々の解決すべき問題が残っている。側壁各部の御協力をお願ひ致します。

### 参考文献

1) 森重：地下連続壁の設計計算、土木技術、30巻 8号、1975年

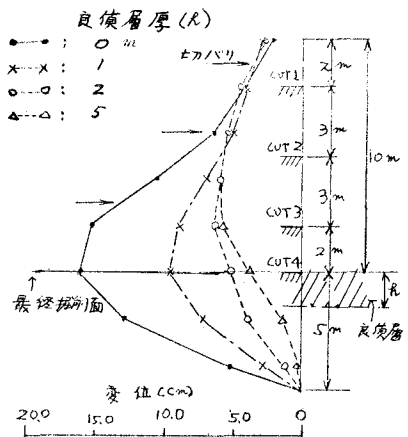


図-3 鋼矢板の変位(最終掘削時)

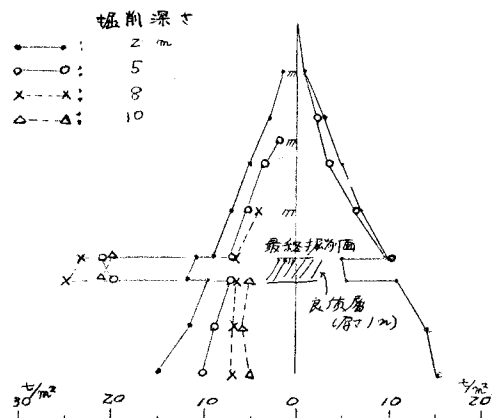


図-4 掘削下伴の土圧(良質層厚1m)

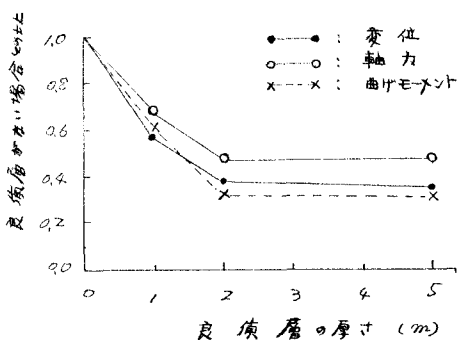


図-5 良質層の影響